



解析モデルを図-3に示す。生じうる分岐モードを制限しないようにするため、対称解析ではなく全領域解析を行った。平面ひずみ条件を仮定し、初期形状比  $H_0/W_0 = 2.5$  の矩形領域の上端に  $y$  方向一様変位が与えられるものとし、上下端面は摩擦のない境界とする。この境界条件の下では、基本経路上では均一変形が進行し、一様な一軸応力状態であり、全領域で塑性負荷が持続するが、分岐による不均一変形により、変形が局所化していき、除荷域が進展してゆく。

まず、図-1の硬化型材料を用いた場合の解析結果を示す。図-4がつり合い経路であり、実線は基本経路を、破線は分岐経路をそれぞれ示す。各経路は近接しているため、分岐点付近を拡大して示してある。圧縮変形では、材料が硬化型であるのに加えて、変形に伴って断面が増加していくため、基本経路の荷重は増加していく。基本経路上には3つの分岐点が存在し、各分岐点から分岐経路へのアクセスを行った。第1分岐経路のみ、分岐点の後に荷重が低下し始めている。分岐後の変形の様子と、相当塑性ひずみの分布を図-5に示す。変形は実寸である。

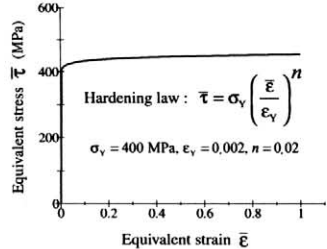


図-1 硬化型の応力～ひずみ関係

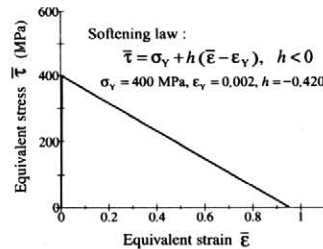


図-2 軟化型の応力～ひずみ関係

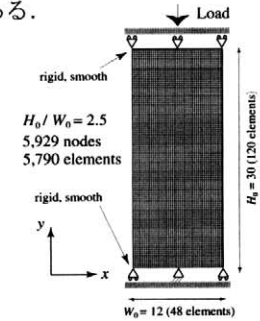


図-3 解析モデル

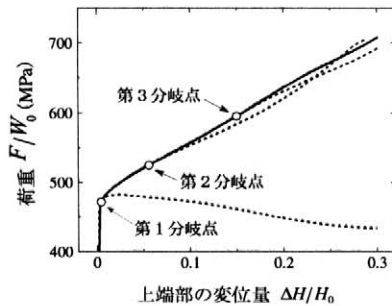


図-4 硬化型材料の場合のつり合い経路

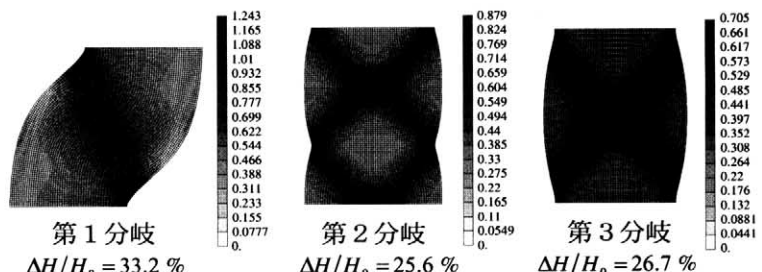


図-5 硬化型材料の場合の分岐後の相当塑性ひずみ分布（変形は実寸）

次に、図-2の軟化型材料を用いた場合の解析結果を示す。図-6がつり合い経路であり、実線は基本経路を、破線は分岐経路をそれぞれ示す。また、図中の括弧内数字は分岐点の番号および対応する分岐経路の番号を示す。分岐点は近接して発生しているため、その付近を拡大して示してある。硬化型材料の場合と異なり、軟化型材料の場合には、圧縮変形においても基本経路上に荷重極大点が存在し、それ以降は荷重が低下していく。基本経路上には14個の分岐点が存在し、そのうち12個が荷重極大点以前に発生した。第1, 2, 3, 4, 5, 7, 10, 14分岐点について分岐経路へのアクセスを行った。荷重極大点以前に発生した分岐経路では、いずれも分岐直後は荷重が増加するが、その後、荷重は低下に転ずる。各分岐経路上での変形の様子と、相当塑性ひずみの分布を図-7に示す。変形倍率は5倍で示してある。図には示していないが、除荷域の進展具合を調べてみると、数要素幅程度のバンド状領域に負荷域が集中し、それ以外の領域は除荷となっており、硬化型材料の場合と比較して、変形の局所化が著しいことがわかる。

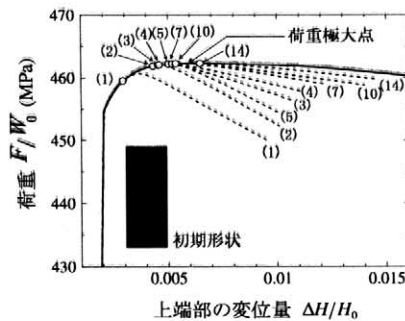


図-6 軟化型材料の場合のつり合い経路

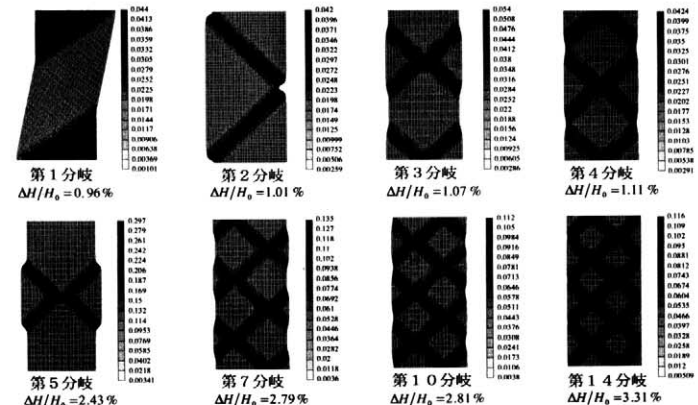


図-7 軟化型材料の場合の分岐後の相当塑性ひずみ分布（変形倍率5倍）